

Warszawa, dn. 2022-05-11

Orange Polska S.A.
Al. Jerozolimskie 160
02-326 Warszawa

[redacted]
z dnia: 2021-01-13

dane do korespondencji:

NetWorkS! Sp. z o.o.

ul. Józefa Piłsudskiego 3
00-728 Warszawa

[redacted]

Prezydent Miasta Białystok
Urząd Miejski w Białymstoku
ul. Słonimska 1
15-950 Białystok

Dotyczy: ustawowego obowiązku, wynikającego z art. 152 ust. 1 i ust. 7 w związku z ust. 6 pkt 1c ustawy z dnia 27 kwietnia 2001r – Prawo ochrony środowiska (Dz.U. z 2021r. poz. 1973 z późn. zm.).

Działając z upoważnienia Orange Polska S.A. z siedzibą Al. Jerozolimskie 160, 02-326 Warszawa, **informuję o zmianie danych w zakresie nazwy instalacji oraz wielkości i rodzaju emisji** dla instalacji radiokomunikacyjnej **1416 (96952N!) HETMAN** zlokalizowanej w miejscowości BIAŁYSTOK, SŁONECZNA 1 DZ.776/2. W stosunku do informacji zawartej w zgłoszeniu realizowanym dla tej instalacji w trybie art. 152 ust. 1 i 5 ustawy z dnia 27 kwietnia 2001r – Prawo ochrony środowiska (Dz.U. z 2021r. poz. 1973 z późn. zm.), dane ulegają zmianie w następujący sposób:

2. Nazwa instalacji zgodna z nazewnictwem stosowanym przez prowadzącego instalację:

Instalacja radiokomunikacyjna - **4183 (96952N!) HETMAN (WBI_BIALYSTOK_SLONECZNA1)**

9. Wielkość i rodzaj emisji²⁾:

Pole elektromagnetyczne. EIRP poszczególnych anten zostało podane w pkt 12, tj.

Lp.	Równoważna moc promieniowana izotropowo (EIRP) [W]
1.	9997
2.	9927
3.	9960
4.	9927
5.	9960
6.	9985
7.	5012
8.	3170
9.	3020
10.	8913
11.	1483
12.	1779

12. Szczegółowe dane, odpowiednio do rodzaju instalacji, zgodne z wymaganiami określonymi w załączniku nr 2 do Rozporządzenia:

Lp. ³⁾	1)	2)	3)	4)	5)	
	Współrzędne geograficzne	Częstotliwość lub zakresy częstotliwości pracy instalacji [MHz]	Wysokość środka elektrycznego anteny [m n.p.t]	Równoważna moc promieniowana izotropowo (EIRP) [W]	Azymut [°]	Kąt pochylenia lub zakresy kątów pochylenia [°]
1.	23°8'48.6" 53°6'19.6"	800/1800/2100	36	9997	18	8/7/7
2.	23°8'48.6" 53°6'19.6"	900/2600	36	9927	18	2/8
3.	23°8'48.5" 53°6'19.5"	800/1800/2100	36	9960	134	2/0/0
4.	23°8'48.5" 53°6'19.5"	900/2600	36	9927	134	2/3
5.	23°8'48.4" 53°6'19.6"	800/1800/2100	36	9960	240	7/6/6
6.	23°8'48.4" 53°6'19.6"	900/2600	36	9985	240	2/7
7.	53°06'19.6" 23°08'48.4"	80000	38.5	5012	25*	nd.
8.	53°06'19.6" 23°08'48.4"	15000	34.7	3170	81*	nd.
9.	53°06'19.6" 23°08'48.4"	23000	38.7	3020	112*	nd.
10.	53°06'19.5" 23°08'48.5"	80000	38.7	8913	112*	nd.
11.	53°06'19.6" 23°08'48.4"	23000	38	1483	305*	nd.
12.	53°06'19.6" 23°08'48.4"	80000	39	1779	352*	nd.

*) tolerancja azymutu od -10° do + 10°.

Informuję, iż dokonane zmiany w zakresie wielkości i rodzaju emisji przedmiotowej instalacji nie powodują zmiany instalacji w sposób istotny zgodnie z art. 3 pkt 7 ustawy Poś.

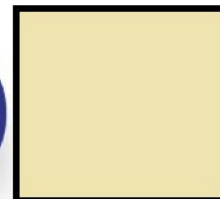
Jednocześnie informuję, iż analizowane przedsięwzięcie nadal **nie kwalifikuje się** do przedsięwzięć mogących znacząco oddziaływać na środowisko biorąc pod uwagę, iż w osi głównych wiązek promieniowania anten sektorowych w odległościach podanych w Rozporządzeniu Rady Ministrów z dnia 10 września 2019r. w sprawie przedsięwzięć mogących znacząco oddziaływać na środowisko /Dz.U. 2019 poz. 1839 ze zm./ nie znajdują się miejsca dostępne dla ludności.

W załączniku przesyłam:

1. Pełnomocnictwo
2. Kopia potwierdzenia wniesienia opłaty skarbowej.

Otrzymują:

1. a/a
2. adresat





Laboratorium Badań Środowiskowych
ul. Józefa Piusa Dziekońskiego 3
00-728 Warszawa
e-mail: Laboratorium@networks.pl



AB 419

S P R A W O Z D A N I E 2026/2022/OS
Z POMIARÓW PÓL ELEKTROMAGNETYCZNYCH
WYKONANYCH DLA POTRZEB OCHRONY ŚRODOWISKA

Badany obiekt: Instalacja radiokomunikacyjna Orange Polska S.A.
Numer i nazwa: 4183 (96952N!) HETMAN (WBI_BIALYSTOK_SLONECZNA1)
Adres: BIAŁYSTOK, SŁONECZNA 1 DZ.776/2, Powiat m. Białystok, WOJ. PODLASKIE

Data wykonania pomiarów: 2022-04-28

Sprawozdanie z badań bez pisemnej zgody laboratorium nie może być powielane inaczej niż w całości.
Wynik przedstawione w niniejszym sprawozdaniu odnoszą się wyłącznie do badanego obiektu i do warunków i konfiguracji urządzeń w dniu wykonywania pomiarów.

1. Właściciel badanego obiektu:

Orange Polska S.A., Al. Jerozolimskie 160, 02-326 Warszawa

2. Zleceniodawca:

Orange Polska S.A., Al. Jerozolimskie 160, 02-326 Warszawa

3. Przedstawiciel zleceniodawcy:

NetWorkS! Sp.z o.o.

4. Zakres zlecenia:

Wykonanie badania i opracowanie sprawozdania z pomiarów natężenia pola elektrycznego i pola magnetycznego dla instalacji radiokomunikacyjnej Orange Polska S.A. zlokalizowanej w miejscowości BIAŁYSTOK, SŁONECZNA 1 DZ.776/2.

5. Cel zlecenia:

Wykonanie pomiarów pól elektromagnetycznych w otoczeniu instalacji radiokomunikacyjnej 4183 (96952N!) HETMAN (WBI_BIALYSTOK_SLONECZNA1) w odniesieniu do wymagań określonych w *Rozporządzeniu Ministra Klimatu z dnia 17 lutego 2020 r. w sprawie sposobów sprawdzania dotrzymania dopuszczalnych poziomów pól elektromagnetycznych w środowisku* (Dz. U. 2020, poz. 258).

6. Pomiary zostały wykonane przez:



7. Informacje o źródłach pól elektromagnetycznych

7.1. Sposób identyfikacji badanych źródeł pól elektromagnetycznych

Identyfikacji źródeł i parametrów technicznych dokonano na podstawie analizy dokumentacji dotyczącej zlecenia oraz obserwacji miejsca wykonywania badań.

7.2. Opis miejsca zainstalowania anten i urządzeń technicznych. Opis obiektu badań i jego otoczenia

Instalacja radiokomunikacyjna zlokalizowana jest na terenie ogrodzonym. Anteny zawieszono na wieży kratowej. Urządzenia sterujące oraz zasilające zainstalowano w kontenerze u podstawy wieży. Wokół instalacji znajduje się teren stadionu piłkarskiego.

Instalacja radiokomunikacyjna jest obiektem bezobsługowym. Okresowe stanowiska pracy związane są z prowadzonymi w zależności od potrzeb konserwacjami, przeglądami, strojeniem i naprawami.

Sprawozdanie z badań bez pisemnej zgody laboratorium nie może być powielane inaczej niż w całości.
Wynik przedstawione w niniejszym sprawozdaniu odnoszą się wyłącznie do badanego obiektu i do warunków i konfiguracji urządzeń w dniu wykonywania pomiarów.

7.3. Parametry techniczne źródła pola elektromagnetycznego

Dane przedstawiające maksymalne parametry pracy instalacji przekazane przez zleceniodawcę:

Parametry systemu nadawczo-odbiorczego:

Charakterystyka promieniowania		kierunkowa					
Rzeczywisty czas pracy [h/dobę]		24					
Warunki pracy		znamionowe					
Rodzaj wytwarzanego pola		stacjonarne					
Lp.	Częstotliwość lub zakresy częstotliwości pracy [MHz]	Typ/producent anteny	liczba anten	Azymut [°]	kąt pochylenia* [°]	Wysokość środka elektrycznego anteny [m n.p.t.]	Równoważna moc promieniowana izotropowo (EIRP) [W]
1	800/1800/2100	ATR4518R13v06 Huawei	1	18	8/7/7	36	9997
2	900/2600	ATR4518R13v06 Huawei	1	18	2/8	36	9927
3	800/1800/2100	ATR4518R13v06 Huawei	1	134	2/0/0	36	9960
4	900/2600	ATR4518R13v06 Huawei	1	134	2/3	36	9927
5	800/1800/2100	ATR4518R13v06 Huawei	1	240	7/6/6	36	9960
6	900/2600	ATR4518R13v06 Huawei	1	240	2/7	36	9985

* wskazane wartości kąta pochylenia anten, zgodnie z informacją uzyskaną od zleceniodawcy, są wartościami stałymi

Parametry radiolinii:

Charakterystyka promieniowania		kierunkowa					
Rzeczywisty czas pracy [h/dobę]		24					
Warunki pracy		znamionowe					
Rodzaj wytwarzanego pola		stacjonarne					
Lp.	Linia radiowa			Antena			
	Typ/ Producent	Częstotliwość pracy [GHz]	Równoważna moc promieniowana izotropowo (EIRP) [W]	Typ/ producent	Średnica anteny [m]	Azymut [°]	Wysokość zainstalowania n.p.t [m]
1.	RTN 380AX DC 70/80GHz 250MHz Huawei	80	5012	A80D06 Huawei	0.6	25	38.5
2.	RTN XMC-3 15G 28MHz XPIC Huawei	15	3170	VHLPX2-15 Andrew	0.6	81	34.7
3.	RTN XMC-3 23G 28MHz Huawei	23	3020	VHLP2-23 Andrew	0.6	112	38.7
4.	RTN 380 R2 70/80GHz 250MHz Huawei	80	8913	VHLP2-80 Andrew	0.6	112	38.7
5.	RTN XMC-3 23G 56MHz XPIC Huawei	23	1483	VHLPX1-23-HW1 Andrew	0.3	305	38
6.	RTN 380 R2 70/80GHz 250MHz Huawei	80	1779	VHLP1-80 Andrew	0.3	352	39

Sprawozdanie z badań bez pisemnej zgody laboratorium nie może być powielane inaczej niż w całości.
Wynik przedstawione w niniejszym sprawozdaniu odnoszą się wyłącznie do badanego obiektu i do warunków i konfiguracji urządzeń w dniu wykonywania pomiarów.

7.4 Inne źródła pól elektromagnetycznych

Na podstawie informacji otrzymanych od użytkownika oraz obserwacji otoczenia miejsca wykonywania pomiarów oraz stwierdzono występowanie innych źródeł pola-EM, pracujących w systemie: telefonii komórkowej (800MHz-2600MHz), linii radiowych (5GHz – 90GHz). Nie rozpoznano szczegółowych danych dotyczących parametrów technicznych źródeł pola-EM innych użytkowników.

8. Opis pomiarów

8.1. Metoda badań

Zgodna z rozporządzeniem Ministra Klimatu z dnia 17 lutego 2020 r. w sprawie sposobów sprawdzania dotrzymania dopuszczalnych poziomów pól elektromagnetycznych w środowisku (Dz. U. 2020, poz. 258), określona w pkt 25 ppkt 1 załącznika do niniejszego rozporządzenia.

Zgodnie z art. 122a ust. 1b ustawy Prawo Ochrony Środowiska, w przypadku wprowadzenia na części albo całym terytorium Rzeczypospolitej Polskiej stanu nadzwyczajnego, o którym mowa w art. 228 ust. 1 Konstytucji Rzeczypospolitej Polskiej z dnia 2 kwietnia 1997 r. (Dz. U. poz. 483, z 2001 r. poz. 319, z 2006 r. poz. 1471 oraz z 2009 r. poz. 946), lub stanu zagrożenia epidemicznego lub stanu epidemii, o których mowa w art. 46 ustawy z dnia 5 grudnia 2008 r. o zapobieganiu oraz zwalczaniu zakażeń i chorób zakaźnych u ludzi (Dz. U. z 2019 r. poz. 1239, z późn. zm.8)), pomiarów , nie przeprowadza się w lokalach mieszkalnych oraz w lokalach użytkowych zlokalizowanych na terytorium objętym stanem nadzwyczajnym, stanem zagrożenia epidemicznego lub stanem epidemii.

W związku z obecnie obowiązującym stanem epidemii, pomiarów nie wykonano w lokalach mieszkalnych oraz w lokalach użytkowych zlokalizowanych w obszarze pomiarowym przedmiotowej instalacji radiokomunikacyjnej.

8.2. Termin pomiarów i warunki środowiskowe

Podczas wykonywania pomiarów pól elektromagnetycznych nie występowały opady atmosferyczne. Wyniki pomiaru parametrów pogodowych przedstawia poniższa tabela:

Data [rrrr-mm-dd]	Godzina [hh:mm-hh:mm]	Warunki środowiskowe			
		Temperatura [°C]		Wilgotność względna [%]	
2022-04-28	11:00-12:10	Przed pomiarem	Po pomiarach	Przed pomiarem	Po pomiarach
		6.8	6.5	62	68

Przedstawione wyżej warunki środowiskowe, występujące podczas wykonywania pomiarów pól elektromagnetycznych, są zgodne ze specyfikacją techniczną użytego zestawu pomiarowego.

8.3. Warunki pracy urządzeń nadawczych

Podczas pomiarów zostały uwzględnione poprawki pomiarowe przekazane przez zleceniodawcę, umożliwiające uwzględnienie maksymalnych parametrów pracy instalacji zgodnie z pkt 7 załącznika do Rozporządzeniem Ministra Klimatu z dnia 17 lutego 2020 r. w sprawie sposobów sprawdzania dotrzymania dopuszczalnych poziomów pól elektromagnetycznych w środowisku (Dz. U. 2020, poz. 258).

8.4. Wyposażenie pomiarowe

Zestaw pomiarowy służący do pomiaru natężenia składowej elektrycznej pola elektromagnetycznego złożony z szerokopasmowego miernika i sondy pomiarowej:

Oznaczenie miernika	Producent	Model	Numer fabryczny	Oznaczenie sondy	Producent	Model	Numer fabryczny
M-21	Narda Safety Test Solution	Miernik pól elektromagnetycznych NBM-550	H-0350	S-23	Narda Safety Test Solution	Sonda EF6092	C-0115

Mierniki natężenia pola elektromagnetycznego podlegają okresowemu sprawdzeniu zgodnie z procedurą wewnętrzną P-03 i PB-01. Świadectwo wzorcowania zestawu pomiarowego z dnia 18 sierpnia 2020 o numerze LWiMP/W/239/20 wydane przez Laboratorium Wzorców i Metrologii Pola Elektromagnetycznego (LWiMP) Politechniki Wrocławskiej.
Data ważności świadectwa wzorcowania: 18 sierpnia 2022 (zgodnie z procedurą wewnętrzną P-03).

Sprawozdanie z badań bez pisemnej zgody laboratorium nie może być powielane inaczej niż w całości.
Wynik przedstawione w niniejszym sprawozdaniu odnoszą się wyłącznie do badanego obiektu i do warunków i konfiguracji urządzeń w dniu wykonywania pomiarów.

Oznaczenie miernika	Producent	Model	Numer fabryczny	Oznaczenie sondy	Producent	Model	Numer fabryczny
M-21	Narda Safety Test Solution	Miernik pól elektromagnetycznych NBM-550	H-0350	S-24	Narda Safety Test Solution	Sonda EF0391	D-1517

Mierniki natężenia pola elektromagnetycznego podlegają okresowemu sprawdzeniu zgodnie z procedurą wewnętrzną P-03 i PB-01. Świadczenie wzorcowania zestawu pomiarowego z dnia 22 lutego 2022 o numerze LWiMP/W/054/22 wydane przez Politechnika Wrocławską.

Data ważności świadectwa wzorcowania: 22 lutego 2024 (zgodnie z procedurą wewnętrzną P-03).

Termohigrometr:

Oznaczenie:	TH-12	Producent:	AZ INSTRUMENT CORP	Model:	Termohigrometr AZ8706
-------------	-------	------------	--------------------	--------	-----------------------

Data ważności świadectwa wzorcowania: 20 maja 2023 (zgodnie z procedurą wewnętrzną P-03).

Dalmierz:

Oznaczenie	Producent	Typ	Numer seryjny	Nr świadectwa wzorcowania	Data świadectwa wzorcowania
D-11	Leica	Dalmierz Leica Disto D510	1042957453	4609.22-M11-4180-1748/14	9 stycznia 2015

Data ważności świadectwa wzorcowania: 9 stycznia 2025 (zgodnie z procedurą wewnętrzną P-03).

9. Wyniki pomiarów

Pole elektryczne

Nr pionu	Opis umiejscowienia pionu (punktu pomiarowego)	Wysokość pomiaru [m]	Zmierzona wartość natężenia pola elektrycznego E [V/m] ^{1,5}			Wartość natężenia pola elektrycznego po uwzględnieniu poprawek pomiarowych powiększona o niepewność pomiaru ⁴ E [V/m]	Wskaźnikowa wartość poziomu emisji pól elektromagnetycznych WME ³	Współrzędne geograficzne pionu (punktu pomiarowego) ²
			Sonda S-23	Sonda S-24	SUMA			
1	GKP w odległości 10m od anteny sektorowej az. 18°	2	2,8	2,8	2,8	6	0.21	53°6'19.799" 23°8'48.839"
2	GKP w odległości 30m od anteny sektorowej az. 18°	2	2,2	2,2	2,2	4.7	0.17	53°6'20.519" 23°8'49.199"
3	GKP w odległości 50m od anteny sektorowej az. 18°	0,3-2,0	<1,0	<1,0	<1,0	2.1	0.08	53°6'21.239" 23°8'49.559"
4	GKP w odległości 70m od anteny sektorowej az. 18°	0,3-2,0	<1,0	<1,0	<1,0	2.1	0.08	53°6'21.6" 23°8'49.559"
5	GKP w odległości 90m od anteny sektorowej az. 18°	0,3-2,0	<1,0	<1,0	<1,0	2.1	0.08	53°6'22.32" 23°8'49.92"
6	GKP w odległości 110m od anteny sektorowej az. 18°	0,3-2,0	<1,0	<1,0	<1,0	2.1	0.08	53°6'23.04" 23°8'50.28"
7	GKP w odległości 15m od anteny radioliniowej az. 25°	2	2,3	2,3	2,3	4.9	0.18	53°6'20.16" 23°8'48.839"
8	GKP w odległości 35m od anteny radioliniowej az. 25°	2	1,9	1,9	1,9	4.1	0.15	53°6'20.519" 23°8'49.199"
9	GKP w odległości 55m od anteny radioliniowej az. 25°	2	1,5	1,5	1,5	3.2	0.11	53°6'21.239" 23°8'49.92"
10	GKP w odległości 75m od anteny radioliniowej az. 25°	0,3-2,0	<1,0	<1,0	<1,0	2.1	0.08	53°6'21.6" 23°8'50.28"
11	GKP w odległości 10m od anteny radioliniowej az. 81°	0,3-2,0	<1,0	<1,0	<1,0	2.1	0.08	53°6'19.44" 23°8'49.199"
12	GKP w odległości 30m od anteny radioliniowej az. 81°	0,3-2,0	<1,0	<1,0	<1,0	2.1	0.08	53°6'19.799" 23°8'50.28"
13	GKP w odległości 50m od anteny radioliniowej az. 81°	0,3-2,0	<1,0	<1,0	<1,0	2.1	0.08	53°6'19.799" 23°8'51.36"
14	GKP w odległości 70m od anteny radioliniowej az. 81°	0,3-2,0	<1,0	<1,0	<1,0	2.1	0.08	53°6'19.799" 23°8'52.439"
15	GKP w odległości 10m od anteny radioliniowej az. 112°	2	1,7	1,7	1,7	3.6	0.13	53°6'19.44" 23°8'49.199"
16	GKP w odległości 30m od anteny radioliniowej az. 112°	2	1,3	1,3	1,3	2.8	0.1	53°6'19.079" 23°8'49.92"
17	GKP w odległości 50m od anteny radioliniowej az. 112°	0,3-2,0	<1,0	<1,0	<1,0	2.1	0.08	53°6'19.079" 23°8'51"
18	GKP w odległości 70m od anteny radioliniowej az. 112°	0,3-2,0	<1,0	<1,0	<1,0	2.1	0.08	53°6'18.72" 23°8'52.08"

Sprawozdanie z badań bez pisemnej zgody laboratorium nie może być powielane inaczej niż w całości.

Wynik przedstawione w niniejszym sprawozdaniu odnoszą się wyłącznie do badanego obiektu i do warunków i konfiguracji urządzeń w dniu wykonywania pomiarów.

19	GKP w odległości 10m od anteny sektorowej az. 134°	2	2,2	2,2	2,2	4.7	0.17	53°6'19.44" 23°8'48.839"
20	GKP w odległości 30m od anteny sektorowej az. 134°	2	1,8	1,8	1,8	3.9	0.14	53°6'18.72" 23°8'49.559"
21	GKP w odległości 50m od anteny sektorowej az. 134°	1	1,5	1,5	1,5	3.2	0.11	53°6'18.36" 23°8'50.28"
22	GKP w odległości 70m od anteny sektorowej az. 134°	0,3-2,0	<1,0	<1,0	<1,0	2.1	0.08	53°6'17.999" 23°8'51.36"
23	GKP w odległości 90m od anteny sektorowej az. 134°	0,3-2,0	<1,0	<1,0	<1,0	2.1	0.08	53°6'17.64" 23°8'52.08"
24	GKP w odległości 110m od anteny sektorowej az. 134°	0,3-2,0	<1,0	<1,0	<1,0	2.1	0.08	53°6'16.92" 23°8'52.799"
25	GKP w odległości 10m od anteny sektorowej az. 240°	2	1,9	1,9	1,9	4.1	0.15	53°6'19.44" 23°8'48.119"
26	GKP w odległości 30m od anteny sektorowej az. 240°	2	2,2	2,2	2,2	4.7	0.17	53°6'19.079" 23°8'47.039"
27	GKP w odległości 50m od anteny sektorowej az. 240°	2	1,4	1,4	1,4	3	0.11	53°6'18.72" 23°8'46.32"
28	GKP w odległości 70m od anteny sektorowej az. 240°	0,3-2,0	<1,0	<1,0	<1,0	2.1	0.08	53°6'18.36" 23°8'45.24"
29	GKP w odległości 90m od anteny sektorowej az. 240°	0,3-2,0	<1,0	<1,0	<1,0	2.1	0.08	53°6'17.999" 23°8'44.52"
30	GKP w odległości 110m od anteny sektorowej az. 240°	0,3-2,0	<1,0	<1,0	<1,0	2.1	0.08	53°6'17.64" 23°8'43.439"
31	GKP w odległości 10m od anteny radioliniowej az. 305°	0,3-2,0	<1,0	<1,0	<1,0	2.1	0.08	53°6'19.799" 23°8'48.119"
32	GKP w odległości 30m od anteny radioliniowej az. 305°	0,3-2,0	<1,0	<1,0	<1,0	2.1	0.08	53°6'20.16" 23°8'47.399"
33	GKP w odległości 50m od anteny radioliniowej az. 305°	0,3-2,0	<1,0	<1,0	<1,0	2.1	0.08	53°6'20.519" 23°8'46.32"
34	GKP w odległości 70m od anteny radioliniowej az. 305°	0,3-2,0	<1,0	<1,0	<1,0	2.1	0.08	53°6'20.88" 23°8'45.6"
35	GKP w odległości 10m od anteny radioliniowej az. 352°	0,3-2,0	<1,0	<1,0	<1,0	2.1	0.08	53°6'19.799" 23°8'48.479"
36	GKP w odległości 30m od anteny radioliniowej az. 352°	0,3-2,0	<1,0	<1,0	<1,0	2.1	0.08	53°6'20.519" 23°8'48.479"
37	GKP w odległości 50m od anteny radioliniowej az. 352°	0,3-2,0	<1,0	<1,0	<1,0	2.1	0.08	53°6'21.239" 23°8'48.119"
38	GKP w odległości 70m od anteny radioliniowej az. 352°	0,3-2,0	<1,0	<1,0	<1,0	2.1	0.08	53°6'21.959" 23°8'48.119"
39	PPP na az. 61° w odległości 40m od wieży	0,3-2,0	<1,0	<1,0	<1,0	2.1	0.08	53°6'20.16" 23°8'50.28"
40	PPP na az. 199° w odległości 27m od wieży	0,3-2,0	<1,0	<1,0	<1,0	2.1	0.08	53°6'18.72" 23°8'48.119"
41	PPP na az. 272° w odległości 47m od wieży	0,3-2,0	<1,0	<1,0	<1,0	2.1	0.08	53°6'19.44" 23°8'45.96"
-	GKP w odległości 236m od anteny sektorowej az. 18°	0,3-2,0	<1,0	<1,0	<1,0	2.1	0.08	53°6'27" 23°8'52.439"
-	GKP w odległości 459m od anteny sektorowej az. 18°	0,3-2,0	<1,0	<1,0	<1,0	2.1	0.08	53°6'33.84" 23°8'56.4"
-	GKP w odległości 205m od anteny sektorowej az. 134°	0,3-2,0	<1,0	<1,0	<1,0	2.1	0.08	53°6'14.76" 23°8'56.4"
-	GKP w odległości 618m od anteny sektorowej az. 134°	0,3-2,0	<1,0	<1,0	<1,0	2.1	0.08	53°6'5.759" 23°9'12.6"
-	GKP w odległości 214m od anteny sektorowej az. 240°	0,3-2,0	<1,0	<1,0	<1,0	2.1	0.08	53°6'16.2" 23°8'38.76"
-	GKP w odległości 382m od anteny sektorowej az. 240°	0,3-2,0	<1,0	<1,0	<1,0	2.1	0.08	53°6'13.32" 23°8'30.839"

Pole magnetyczne (wyznaczone na podstawie pomiaru wartości natężenia pola elektrycznego)

Nr pionu	Opis umiejscowienia pionu (punktu pomiarowego)	Wysokość pomiaru [m]	Wartość natężenia pola magnetycznego H [A/m] ¹			Wartość natężenia pola magnetycznego po uwzględnieniu poprawek pomiarowych powiększona o niepewność pomiaru ⁴ H [A/m]	Wskaźnikowa wartość poziomu emisji pól elektromagnetycznych WM _H ³	Współrzędne geograficzne pionu (punktu pomiarowego) ²
			Sonda S-23	Sonda S-24	SUMA			
1	GKP w odległości 10m od anteny sektorowej az. 18°	2	0.007	0.007	0.007	0.016	0.22	53°6'19.799" 23°8'48.839"
2	GKP w odległości 30m od anteny sektorowej az. 18°	2	0.006	0.006	0.006	0.013	0.17	53°6'20.519" 23°8'49.199"

Sprawozdanie z badań bez pisemnej zgody laboratorium nie może być powielane inaczej niż w całości.
Wynik przedstawione w niniejszym sprawozdaniu odnoszą się wyłącznie do badanego obiektu i do warunków i konfiguracji urządzeń w dniu wykonywania pomiarów.

3	GKP w odległości 50m od anteny sektorowej az. 18°	0,3-2,0	<0.003*	<0.003*	<0.003*	0.006	0.08	53°6'21.239" 23°8'49.559"
4	GKP w odległości 70m od anteny sektorowej az. 18°	0,3-2,0	<0.003*	<0.003*	<0.003*	0.006	0.08	53°6'21.6" 23°8'49.559"
5	GKP w odległości 90m od anteny sektorowej az. 18°	0,3-2,0	<0.003*	<0.003*	<0.003*	0.006	0.08	53°6'22.32" 23°8'49.92"
6	GKP w odległości 110m od anteny sektorowej az. 18°	0,3-2,0	<0.003*	<0.003*	<0.003*	0.006	0.08	53°6'23.04" 23°8'50.28"
7	GKP w odległości 15m od anteny radioliniowej az. 25°	2	0.006	0.006	0.006	0.013	0.18	53°6'20.16" 23°8'48.839"
8	GKP w odległości 35m od anteny radioliniowej az. 25°	2	0.005	0.005	0.005	0.011	0.15	53°6'20.519" 23°8'49.199"
9	GKP w odległości 55m od anteny radioliniowej az. 25°	2	0.004	0.004	0.004	0.009	0.12	53°6'21.239" 23°8'49.92"
10	GKP w odległości 75m od anteny radioliniowej az. 25°	0,3-2,0	<0.003*	<0.003*	<0.003*	0.006	0.08	53°6'21.6" 23°8'50.28"
11	GKP w odległości 10m od anteny radioliniowej az. 81°	0,3-2,0	<0.003*	<0.003*	<0.003*	0.006	0.08	53°6'19.44" 23°8'49.199"
12	GKP w odległości 30m od anteny radioliniowej az. 81°	0,3-2,0	<0.003*	<0.003*	<0.003*	0.006	0.08	53°6'19.799" 23°8'50.28"
13	GKP w odległości 50m od anteny radioliniowej az. 81°	0,3-2,0	<0.003*	<0.003*	<0.003*	0.006	0.08	53°6'19.799" 23°8'51.36"
14	GKP w odległości 70m od anteny radioliniowej az. 81°	0,3-2,0	<0.003*	<0.003*	<0.003*	0.006	0.08	53°6'19.799" 23°8'52.439"
15	GKP w odległości 10m od anteny radioliniowej az. 112°	2	0.005	0.005	0.005	0.01	0.13	53°6'19.44" 23°8'49.199"
16	GKP w odległości 30m od anteny radioliniowej az. 112°	2	0.003	0.003	0.003	0.007	0.1	53°6'19.079" 23°8'49.92"
17	GKP w odległości 50m od anteny radioliniowej az. 112°	0,3-2,0	<0.003*	<0.003*	<0.003*	0.006	0.08	53°6'19.079" 23°8'51"
18	GKP w odległości 70m od anteny radioliniowej az. 112°	0,3-2,0	<0.003*	<0.003*	<0.003*	0.006	0.08	53°6'18.72" 23°8'52.08"
19	GKP w odległości 10m od anteny sektorowej az. 134°	2	0.006	0.006	0.006	0.013	0.17	53°6'19.44" 23°8'48.839"
20	GKP w odległości 30m od anteny sektorowej az. 134°	2	0.005	0.005	0.005	0.01	0.14	53°6'18.72" 23°8'49.559"
21	GKP w odległości 50m od anteny sektorowej az. 134°	1	0.004	0.004	0.004	0.009	0.12	53°6'18.36" 23°8'50.28"
22	GKP w odległości 70m od anteny sektorowej az. 134°	0,3-2,0	<0.003*	<0.003*	<0.003*	0.006	0.08	53°6'17.999" 23°8'51.36"
23	GKP w odległości 90m od anteny sektorowej az. 134°	0,3-2,0	<0.003*	<0.003*	<0.003*	0.006	0.08	53°6'17.64" 23°8'52.08"
24	GKP w odległości 110m od anteny sektorowej az. 134°	0,3-2,0	<0.003*	<0.003*	<0.003*	0.006	0.08	53°6'16.92" 23°8'52.799"
25	GKP w odległości 10m od anteny sektorowej az. 240°	2	0.005	0.005	0.005	0.011	0.15	53°6'19.44" 23°8'48.119"
26	GKP w odległości 30m od anteny sektorowej az. 240°	2	0.006	0.006	0.006	0.013	0.17	53°6'19.079" 23°8'47.039"
27	GKP w odległości 50m od anteny sektorowej az. 240°	2	0.004	0.004	0.004	0.008	0.11	53°6'18.72" 23°8'46.32"
28	GKP w odległości 70m od anteny sektorowej az. 240°	0,3-2,0	<0.003*	<0.003*	<0.003*	0.006	0.08	53°6'18.36" 23°8'45.24"

Sprawozdanie z badań bez pisemnej zgody laboratorium nie może być powielane inaczej niż w całości.
Wynik przedstawione w niniejszym sprawozdaniu odnoszą się wyłącznie do badanego obiektu i do warunków i konfiguracji urządzeń w dniu wykonywania pomiarów.

29	GKP w odległości 90m od anteny sektorowej az. 240°	0,3-2,0	<0.003*	<0.003*	<0.003*	0.006	0.08	53°6'17.999" 23°8'44.52"
30	GKP w odległości 110m od anteny sektorowej az. 240°	0,3-2,0	<0.003*	<0.003*	<0.003*	0.006	0.08	53°6'17.64" 23°8'43.439"
31	GKP w odległości 10m od anteny radioliniowej az. 305°	0,3-2,0	<0.003*	<0.003*	<0.003*	0.006	0.08	53°6'19.799" 23°8'48.119"
32	GKP w odległości 30m od anteny radioliniowej az. 305°	0,3-2,0	<0.003*	<0.003*	<0.003*	0.006	0.08	53°6'20.16" 23°8'47.399"
33	GKP w odległości 50m od anteny radioliniowej az. 305°	0,3-2,0	<0.003*	<0.003*	<0.003*	0.006	0.08	53°6'20.519" 23°8'46.32"
34	GKP w odległości 70m od anteny radioliniowej az. 305°	0,3-2,0	<0.003*	<0.003*	<0.003*	0.006	0.08	53°6'20.88" 23°8'45.6"
35	GKP w odległości 10m od anteny radioliniowej az. 352°	0,3-2,0	<0.003*	<0.003*	<0.003*	0.006	0.08	53°6'19.799" 23°8'48.479"
36	GKP w odległości 30m od anteny radioliniowej az. 352°	0,3-2,0	<0.003*	<0.003*	<0.003*	0.006	0.08	53°6'20.519" 23°8'48.479"
37	GKP w odległości 50m od anteny radioliniowej az. 352°	0,3-2,0	<0.003*	<0.003*	<0.003*	0.006	0.08	53°6'21.239" 23°8'48.119"
38	GKP w odległości 70m od anteny radioliniowej az. 352°	0,3-2,0	<0.003*	<0.003*	<0.003*	0.006	0.08	53°6'21.959" 23°8'48.119"
39	PPP na az. 61° w odległości 40m od wieży	0,3-2,0	<0.003*	<0.003*	<0.003*	0.006	0.08	53°6'20.16" 23°8'50.28"
40	PPP na az. 199° w odległości 27m od wieży	0,3-2,0	<0.003*	<0.003*	<0.003*	0.006	0.08	53°6'18.72" 23°8'48.119"
41	PPP na az. 272° w odległości 47m od wieży	0,3-2,0	<0.003*	<0.003*	<0.003*	0.006	0.08	53°6'19.44" 23°8'45.96"
-	GKP w odległości 236m od anteny sektorowej az. 18°	0,3-2,0	<0.003*	<0.003*	<0.003*	0.006	0.08	53°6'27" 23°8'52.439"
-	GKP w odległości 459m od anteny sektorowej az. 18°	0,3-2,0	<0.003*	<0.003*	<0.003*	0.006	0.08	53°6'33.84" 23°8'56.4"
-	GKP w odległości 205m od anteny sektorowej az. 134°	0,3-2,0	<0.003*	<0.003*	<0.003*	0.006	0.08	53°6'14.76" 23°8'56.4"
-	GKP w odległości 618m od anteny sektorowej az. 134°	0,3-2,0	<0.003*	<0.003*	<0.003*	0.006	0.08	53°6'5.759" 23°9'12.6"
-	GKP w odległości 214m od anteny sektorowej az. 240°	0,3-2,0	<0.003*	<0.003*	<0.003*	0.006	0.08	53°6'16.2" 23°8'38.76"
-	GKP w odległości 382m od anteny sektorowej az. 240°	0,3-2,0	<0.003*	<0.003*	<0.003*	0.006	0.08	53°6'13.32" 23°8'30.839"

GKP – Główny Kierunek Pomiarowy

PPP – Pomocniczy Pion pomiarowy

¹ wyniki oznaczone * są wynikami poniżej czułości zestawu pomiarowego

² współrzędne geograficzne pozyskane metodą obliczeniową w oparciu o pomiar punktu referencyjnego

³ do wyznaczenia wartości wskaźnikowej W_{M_E} i W_{M_H} przyjęto na podstawie uzgodnień z klientem oraz rozpoznania źródeł, jako wartości dopuszczalne pola elektrycznego i magnetycznego odpowiednio 28 V/m i 0,073 A/m.

⁴ do wyznaczenia niepewności dla wyników poniżej czułości zestawu pomiarowego, przyjęto niepewność dla minimalnej wartości z zakresu pomiarowego.

⁵ maksymalna wartość chwilowa

Niepewność oszacowano zgodnie z dokumentem P-03 „Procedura nadzoru nad wyposażeniem” w postaci niepewności rozszerzonej wynikającej z niepewności standardowej pomnożonej przez współczynnik rozszerzenia $k=2$.

Całkowita szacowana niepewność rozszerzona składowej E wynosi odpowiednio:

sonda S-23: 30.1% dla częstotliwości do 3 GHz, sonda S-24: 28.1% dla częstotliwości do 3 GHz

Dla przedmiotowych pomiarów zleceniodawca określił poprawkę pomiarową = 1.65.

Umiejscowienie pionów (punktów) pomiarowych przedstawiono w nr 2 do niniejszego sprawozdania.

Sprawozdanie z badań bez pisemnej zgody laboratorium nie może być powielane inaczej niż w całości.
Wynik przedstawione w niniejszym sprawozdaniu odnoszą się wyłącznie do badanego obiektu i do warunków i konfiguracji urządzeń w dniu wykonywania pomiarów.

10. Omówienie wyników pomiarów

Wyniki pomiarów uzyskane zostały przy uwzględnieniu poprawek pomiarowych przekazanych przez zleceniodawcę, umożliwiających uwzględnienie maksymalnych parametrów pracy instalacji zleceniodawcy oraz innych operatorów występujących w obszarze pomiarowym.

W wyniku zastosowania sposobu sprawdzenia dotrzymania dopuszczalnych poziomów pól elektromagnetycznych w środowisku, zgodnie pkt 25 ppkt 1 Rozporządzenia Ministra Klimatu z dnia 17 lutego 2020 r. (Dz. U. 2020, poz. 258), w związku z tym, że żadna z wartości wskaźnikowych, udokumentowanych w tabelach w pkt. 9 nie przekracza wartości 1, stwierdza się, że w miejscach, w których wykonano pomiary w otoczeniu instalacji radiokomunikacyjnej 4183 (96952N!) HETMAN (WBI_BIALYSTOK_SLONECZNA1), dopuszczalne poziomy pól elektromagnetycznych w środowisku należy uznać za dotrzymane.

11. Podstawa prawna

- 1) Ustawa z dnia 27 kwietnia 2001 r. Prawo ochrony środowiska (t. j. Dz. U. z 2021 r., poz. 1973 z późn.zm.)
- 2) Rozporządzenie Ministra Zdrowia z dnia 17 grudnia 2019 r. w sprawie dopuszczalnych poziomów pól elektromagnetycznych w środowisku (Dz. U. 2019, poz. 2448)
- 3) Rozporządzenie Ministra Klimatu z dnia 17 lutego 2020 r. w sprawie sposobów sprawdzania dotrzymania dopuszczalnych poziomów pól elektromagnetycznych w środowisku (Dz. U. 2020, poz. 258),
- 4) Akredytacja nr AB 419 wydana przez Polskie Centrum Akredytacji (wydanie 19, z dnia 28 lutego 2022r.).

12. Spis załączników

- Załącznik 1. Lokalizacja obiektu badań
- Załącznik 2. Usytuowanie pionów (punktów) pomiarowych
- Załącznik 3. Dokumentacja fotograficzna obiektu badań

13. Data wydania i autoryzowania sprawozdania

Obliczenia i sprawozdanie wykonał :



Sprawozdanie autoryzował:



Koniec sprawozdania

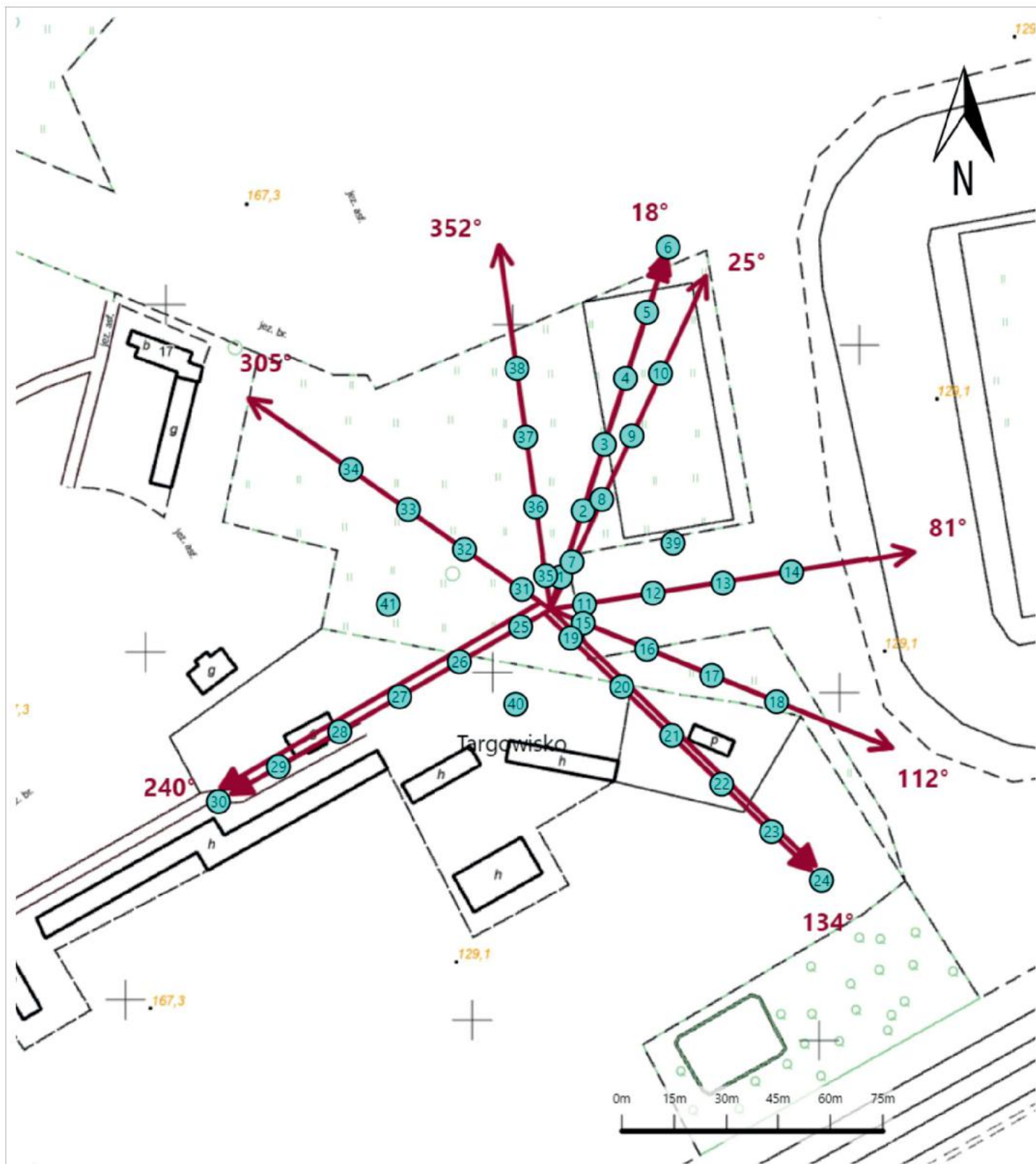
Sprawozdanie z badań bez pisemnej zgody laboratorium nie może być powielane inaczej niż w całości.
Wynik przedstawione w niniejszym sprawozdaniu odnoszą się wyłącznie do badanego obiektu i do warunków i konfiguracji urządzeń w dniu wykonywania pomiarów.





Załącznik nr 1

Instalacja Radiokomunikacyjna Orange Polska S.A. 4183 (96952N!) HETMAN (WBI_BIALYSTOK_SLONECZNA1)
Lokalizacja instalacji

Sprawozdanie z badań bez pisemnej zgody laboratorium nie może być powielane inaczej niż w całości.
Wynik przedstawione w niniejszym sprawozdaniu odnoszą się wyłącznie do badanego obiektu i do warunków i konfiguracji urządzeń w dniu wykonywania pomiarów.



Załącznik nr 2	<p>Instalacja Radiokomunikacyjna Orange Polska S.A. 4183 (96952N!) HETMAN (WBI_BIALYSTOK_SLONECZNA1) Usytuowanie pionów pomiarowych w otoczeniu instalacji radiokomunikacyjnej</p>
	<p>Legenda:</p> <p>  Pion pomiarowy  Kierunek oddziaływania anten sektorowych  Kierunek oddziaływania anten radioliniowych </p>

Sprawozdanie z badań bez pisemnej zgody laboratorium nie może być powielane inaczej niż w całości.
Wynik przedstawione w niniejszym sprawozdaniu odnoszą się wyłącznie do badanego obiektu i do warunków konfiguracji urządzeń w dniu wykonywania pomiarów.



Załącznik nr 3

Instalacja Radiokomunikacyjna Orange Polska S.A. 4183 (96952N!) HETMAN (WBI_BIALYSTOK_SLONECZNA1)
Dokumentacja fotograficzna

Sprawozdanie z badań bez pisemnej zgody laboratorium nie może być powielane inaczej niż w całości.
Wynik przedstawione w niniejszym sprawozdaniu odnoszą się wyłącznie do badanego obiektu i do warunków konfiguracji urządzeń w dniu wykonywania pomiarów.